

Московский государственный университет
имени М.В.Ломоносова
Механико-математический факультет

Применение различных схем для численного решения уравнения переноса

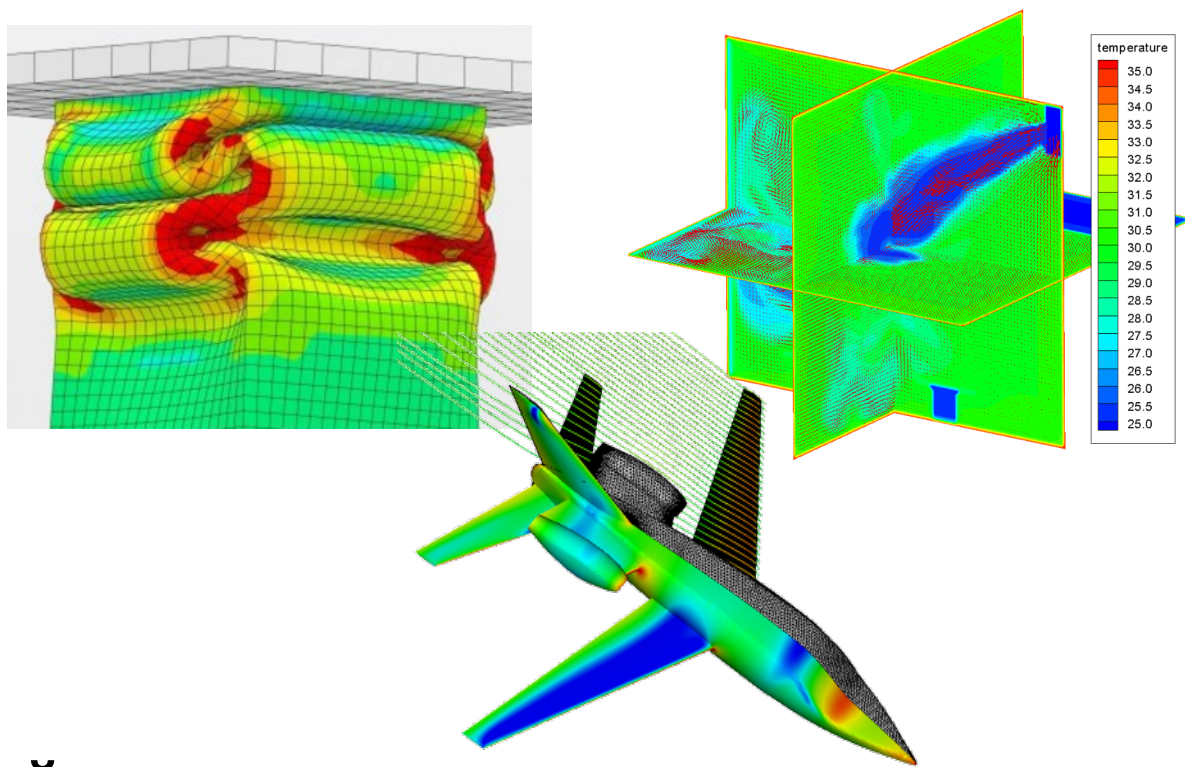
Студент 621 группы
Сенченко Григорий Антонович.
Научный руководитель:
д.ф.-м.н., профессор
Меньшов Игорь Станиславович.

Введение

- Важный аспект решения прикладных задач - описание геометрии и области решения
- Пространственно – сложная форма исследуемых объектов

Примеры:

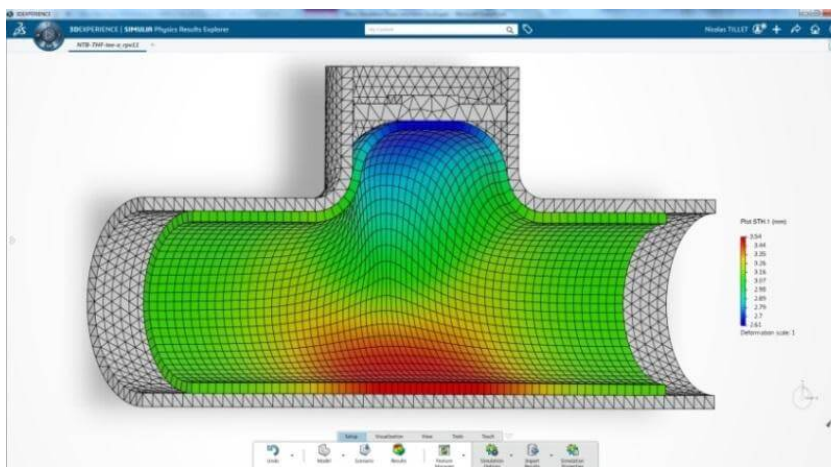
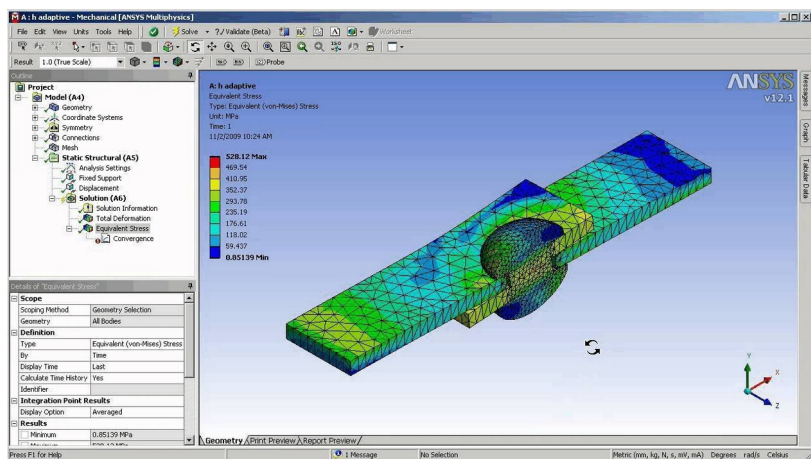
- Задачи теории упругости: описание деформируемых тел
- Задачи аэродинамики: геометрия летательных аппаратов
- Механика сплошной среды: описание параметров среды в пространстве



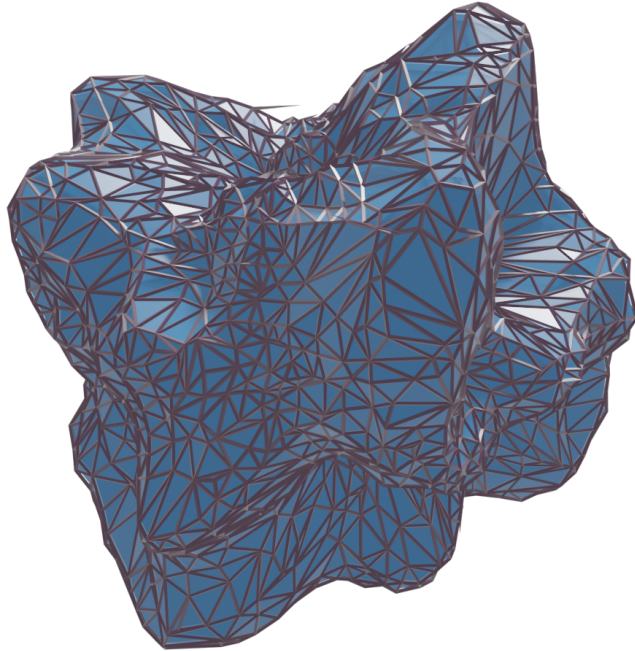
Геометрия – важный элемент вычислительного эксперимента в механике

Введение

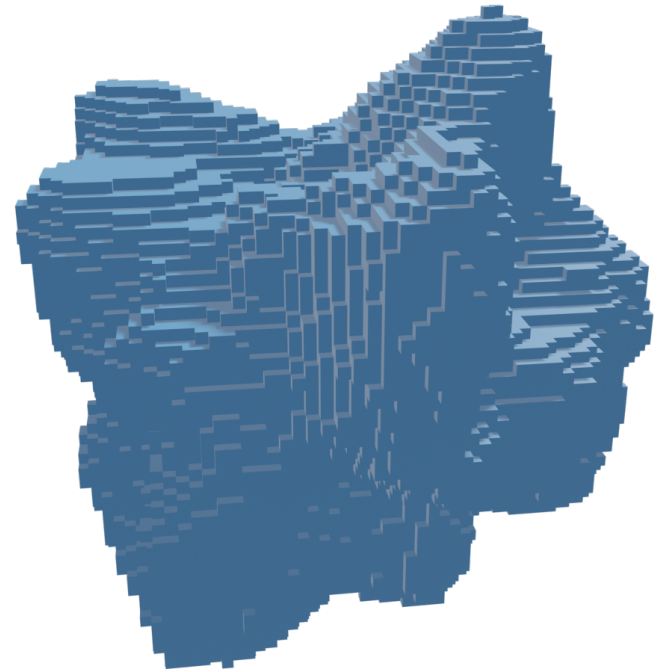
- Стандартный подход – геометрическое описание поверхности и согласованные с геометрией объекта сетки
- Реализация - компьютерные программы CAD: SolidWorks, Catia, Ansys...
- Более 50% времени решения задачи - описание геометрии и построение сетки



Digital Geometry



- Стандартный подход: на всей исследуемой области вводится сетка, состоящая из примитивов.
- Происходит точный расчет для большого числа малых конечных элементов,
- Большие вычислительные мощности для описания каждого примитива и сложного разбиения



- **Цифровая геометрия:** геометрия тела задается характеристической функцией
- Ее эволюция описывается уравнением переноса.
- Значительное упрощение введения сетки и облегчение расчетов, с сохранением точности на высоком уровне.

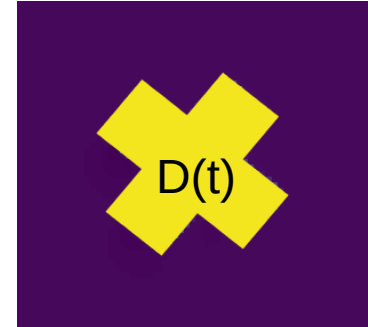
Мотивация

- Альтернативное решение: переход от геометрического представления объекта к цифровому
- Исключение задачи генерации сетки в сложных пространственных областях
- Особенно важно – для задач с изменяющейся во времени геометрией (аэродинамика подвижных объектов)

Цифровая геометрия

- Характеристическая функция твердого тела представляет собой функцию - индикатор:

$$f(x, t) = \begin{cases} 1 & \mathbf{x} \notin D(t) \\ 0 & \mathbf{x} \in D(t) \end{cases}$$



- Уравнение переноса — дифференциальное уравнение в частных производных, описывающее изменение скалярной величины в пространстве и времени:

$$\frac{\partial f}{\partial t} + \vec{u} \nabla \cdot f = 0$$

$\vec{u}(\vec{x}, t)$ — поле скорости, индуцированное движением твердого тела $D(t)$.

$$\vec{u}(\vec{x}, t) = \vec{v}_c(t) + [\vec{\omega}(t) \times (\vec{x}_c(t) - \vec{x})]$$

Векторы $\vec{v}_c(t)$ - скорость центра т.т. и $\vec{\omega}(t)$ - угловая скорость т.т. считаются заданными.

$$\frac{d\vec{x}_c}{dt} = \vec{v}_c(t) \quad \text{н.у.: } \vec{x}_c(0) = \vec{x}_c^0$$

$\vec{u}(\vec{x}, t)$ – бездивергентное поле скоростей

$$\text{div}(\vec{u}) = 0$$

- Поэтому уравнение переноса рассматривается в консервативной (дивергентной) форме:

$$\frac{\partial f}{\partial t} + \nabla \cdot (f \vec{u}) = 0$$

н.у.: $f|_{t=0} = f^0$

Дискретизация

Для простоты рассмотрим 1D случай

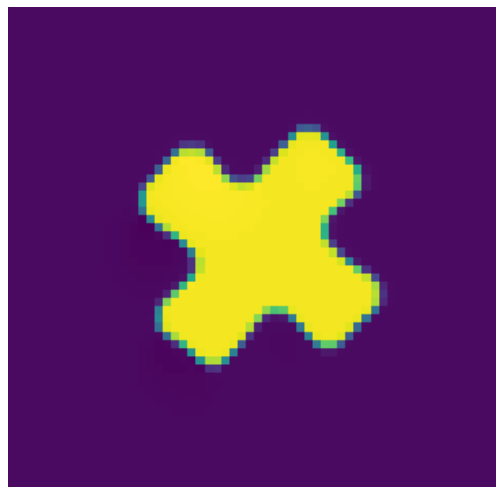
- После введения декартовой сетки производится дискретизация характеристической функции методом VoF.
- Данные значения представляют собой объемную долю части ячейки, отсекаемой геометрией

- Дискретная модель:

$$f(\vec{x}, t) \rightarrow \bar{f}_i^n$$

$$\vec{u}(\vec{x}, t) \rightarrow u_{i \pm \frac{1}{2}}^n$$

$$\bar{f}_i^n = \frac{1}{\Delta x_i} \int_{x_{i-\frac{1}{2}}}^{x_{i+\frac{1}{2}}} f(x, t_n) dx$$



Дискретные значения характеристической функции в ячейках сетки - это **цифровая геометрия**

Численный метод

Уравнение переноса в дивергентной форме имеет вид:

$$\frac{\partial f}{\partial t} + \nabla \cdot (f \vec{u}) = 0$$

В одномерном случае:

$$\frac{\partial f}{\partial t} + \frac{\partial(fu)}{\partial x} = 0$$

После интегрирования по времени:

$$(f^{n+1} - f^n) + \int_{t_n}^{t_{n+1}} \frac{\partial(fu)}{\partial x} d\tau = 0$$

Проинтегрируем по i-ой ячейке чтобы перейти к разностной схеме

Для твердого тела: $u = \text{const}$ вдоль направления X

$$(f_i^{n+1} - f_i^n) + \frac{1}{\Delta x_i} \int_{t_n}^{t_{n+1}} u f_{i+\frac{1}{2}} d\tau - \frac{1}{\Delta x_i} \int_{t_n}^{t_{n+1}} u f_{i-\frac{1}{2}} d\tau = 0$$

Введем обозначение Φ для потоков через грани ячеек: $\Phi_{i+\frac{1}{2}} = \int_{t_n}^{t_{n+1}} u f_{i+\frac{1}{2}} d\tau$

Выражение для расчета объемной доли f на следующем шаге по времени:

$$\Phi_{i-\frac{1}{2}} = \int_{t_n}^{t_{n+1}} u f_{i-\frac{1}{2}} d\tau$$

$$f_i^{n+1} = f_i^n - \frac{1}{\Delta x_i} (\Phi_{i+\frac{1}{2}} - \Phi_{i-\frac{1}{2}}) = 0$$

Задача заключается в определении потоков как можно более **точно**

Метод характеристик

Пусть в момент времени $\tau=0$ ($t=t_n$) задано начальное распределение функции f

$$f^n = f^n(x) = \Phi_0(x)$$

Для вычисления значений f на гранях ячеек используется метод характеристик.

Полная производная $f(x, t)$ имеет вид:

$$\frac{df(x, t)}{dt} = \frac{\partial f}{\partial t} + \frac{\partial f}{\partial x} \frac{\partial x}{\partial t}$$

Исходное уравнение имеет вид:

$$\frac{\partial f}{\partial t} + u \frac{\partial f}{\partial x} = 0$$

$$\text{Тогда } \frac{d}{dt} f(x(t), t) = u(t) \frac{\partial f}{\partial x} + \frac{\partial f}{\partial t} = 0$$

Таким образом, если выполняется **уравнение характеристик** $\frac{dx}{dt} = u(t)$

То вдоль характеристики $(x(t), t)$ исходное уравнение в частных производных будет

$$\text{иметь вид: } \frac{df}{dt} = 0$$

Данное уравнение говорит о том, что вдоль характеристик решение постоянное. Таким образом, $f(x, t) = f(x_0, 0)$, где точки (x, t) и $(x_0, 0)$ лежат на одной характеристике.

$$x(t_n + \tau) - x(t_n) = \int_{t_n}^{t_n + \tau} u(t) dt + C$$

Найдем такую характеристику, которая в τ^* проходила через x^* .

$$x(t_n + \tau) = \int_{t_n}^{t_n + \tau} u(t) dt + x^* - \int_{t_n}^{t_n + \tau^*} u(t) dt$$

Узнаем координату, из которой выходила данная характеристика в момент времени

$\tau=0$:

$$x|_{\tau=0} = x^* - \int_{t_n}^{t_n + \tau^*} u(t) dt$$

Теперь пространственная координата связана с временной

Аппроксимация интегралов

Выражение для точного расчета потоков через грани ячеек, полученное методом

$$\Phi_{i+\frac{1}{2}} = \int_{t_n}^{t_{n+1}} u \Phi_0(x_{i+\frac{1}{2}} - \int_{t_n}^{t_n+\tau} u(t) dt) d\tau \quad \Phi_{i-\frac{1}{2}} = \int_{t_n}^{t_{n+1}} u \Phi_0(x_{i-\frac{1}{2}} - \int_{t_n}^{t_n+\tau} u(t) dt) d\tau$$

Для вычисления потоков были исследованы следующие методы подсеточной реконструкции:

- MUSCL: восполнение ллинейной функцией
- THINC: восполнение гиперболическим тангенсом
- JR: восполнение скачком

Непрерывное распределение (методы MUSCL, THINC):
Квадратурная формула трапеции

$$x|_{\tau=0} = x^* - \int_{t_n}^{t_n+\tau^*} u(t) dt = x^* - \Delta t \frac{u(t_n) + u(t_n + \tau^*)}{2}$$

$$\Phi_{i+\frac{1}{2}} = \int_{t_n}^{t_{n+1}} u f_{i+\frac{1}{2}} d\tau = \frac{\Delta t}{2} (u^{n+1} f_{i+\frac{1}{2}}^{n+1} + u^n f_{i+\frac{1}{2}}^n)$$

$$\Phi_{i-\frac{1}{2}} = \int_{t_n}^{t_{n+1}} u f_{i-\frac{1}{2}} d\tau = \frac{\Delta t}{2} (u^{n+1} f_{i-\frac{1}{2}}^{n+1} + u^n f_{i-\frac{1}{2}}^n)$$

Финальное выражение для расчета потоков через грани ячеек:

$$\Phi_{i+\frac{1}{2}} = \frac{\Delta t}{2} (u^n \Psi_0(x_R) + u^{n+1} \Psi_0(x^R - \Delta t \frac{u^n + u^{n+1}}{2})))$$

$$\Phi_{i-\frac{1}{2}} = \frac{\Delta t}{2} (u^n \Psi_0(x_L) + u^{n+1} \Psi_0(x^L - \Delta t \frac{u^n + u^{n+1}}{2})))$$

MUSCL

$$\Psi_i(x) = k_i x + b_i$$

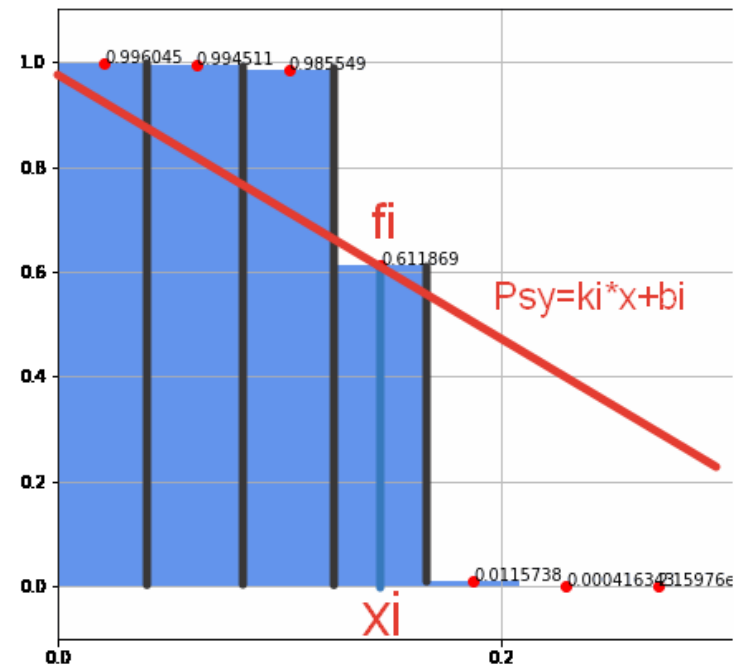
$$k_i = \minmod(\tilde{f}_i^R, \tilde{f}_i^L)$$

$$\tilde{f}_i^R = \frac{\bar{f}_{i+1} - \bar{f}_i}{h}$$

$$\tilde{f}_i^L = \frac{\bar{f}_i - \bar{f}_{i-1}}{h}$$

$$\minmod(a, b) = \begin{cases} 0 & , ab < 0 \\ \text{sgn}(a) \min(|a|, |b|) & , ab \geq 0 \end{cases}$$

$$b_i = \bar{f}_i - k_i x_i$$

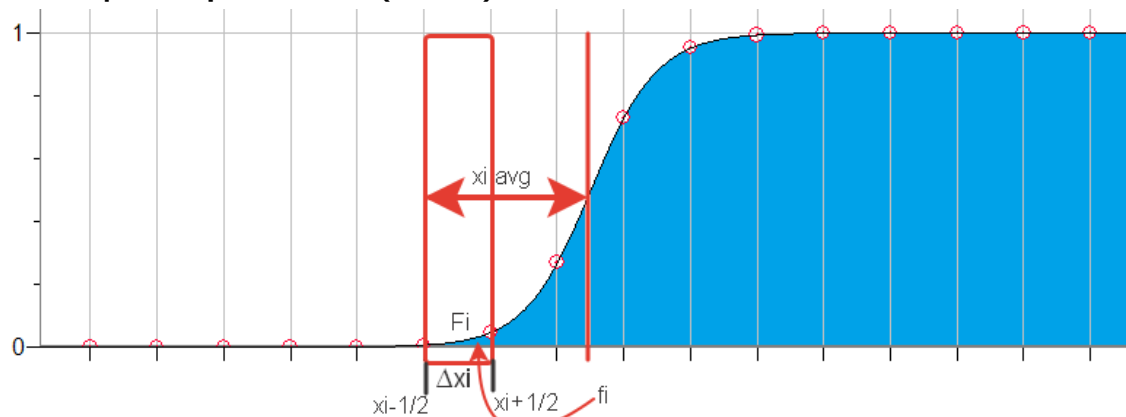


THINC

- Аппроксимация $f(i)n$:

$$F_i(x) = \frac{1}{2} \left(1 + \gamma_i \tanh \left(\beta \left(\frac{x - x_{i-1/2}}{\Delta x_i} - \tilde{x}_i \right) \right) \right) \quad \gamma_i = \operatorname{sgn}(\bar{f}_{i+1}^n - \bar{f}_{i-1}^n)$$

- Параметр \tilde{x}_i - относительное расстояние до середины скачка f от левой границы отрезка $X(i-1/2)$.



$$\tilde{x}_i = \frac{1}{2\beta} \log \left(\frac{\exp \left(\frac{\beta}{\gamma_i} (1 + \gamma_i - 2\bar{f}_i^n) \right) - 1}{1 - \exp \left(\frac{\beta}{\gamma_i} (1 - \gamma_i - 2\bar{f}_i^n) \right)} \right)$$

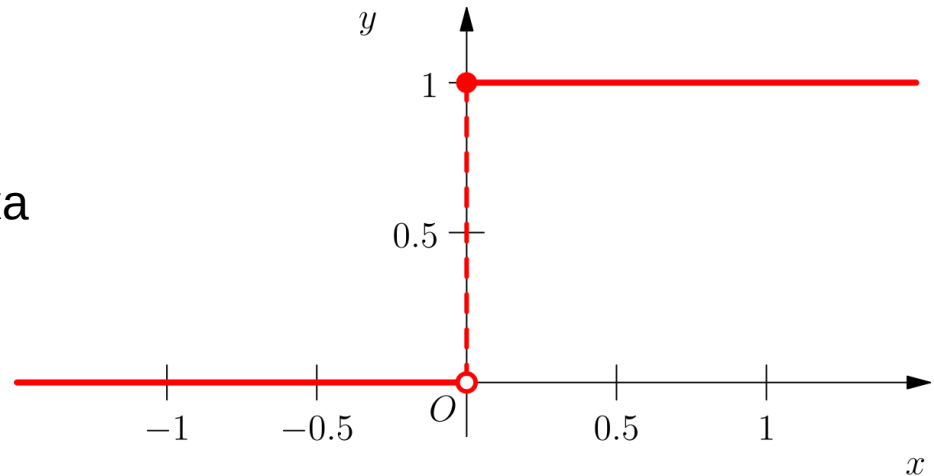
Jump Reconstruction (JR)

Подсеточное восполнение разрывной функцией

$$F_i(x) = \frac{(1 - \gamma_i)}{2} + \gamma_i H(x - x_i^*)$$

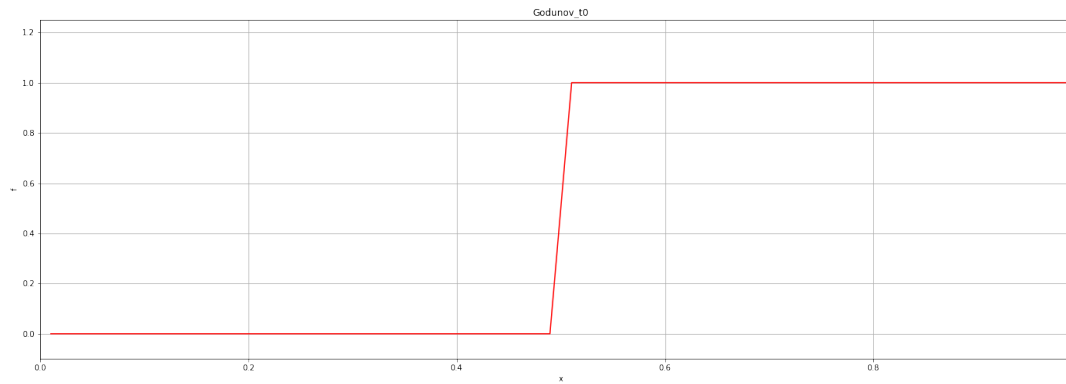
Параметр x_i^* – положение скачка

$$x_i^* = x_{i+\frac{1}{2}} - \Delta x_i \left(\frac{f_i - f_{min}}{\Delta f_i \gamma_i} - \frac{1 - \gamma_i}{2\gamma_i} \right)$$

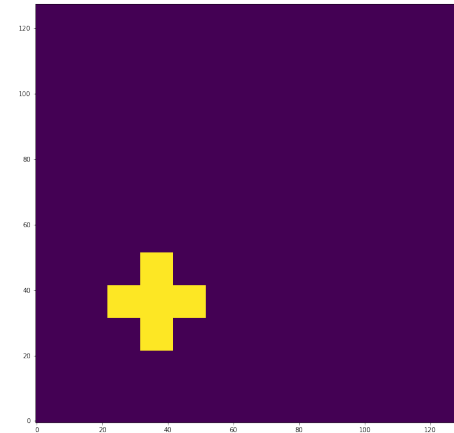
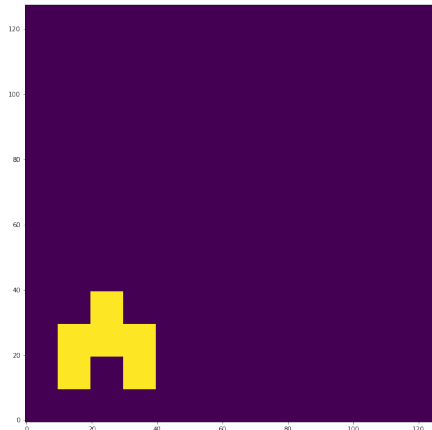
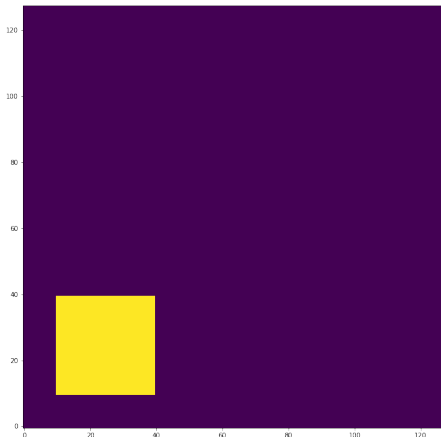


Численные результаты

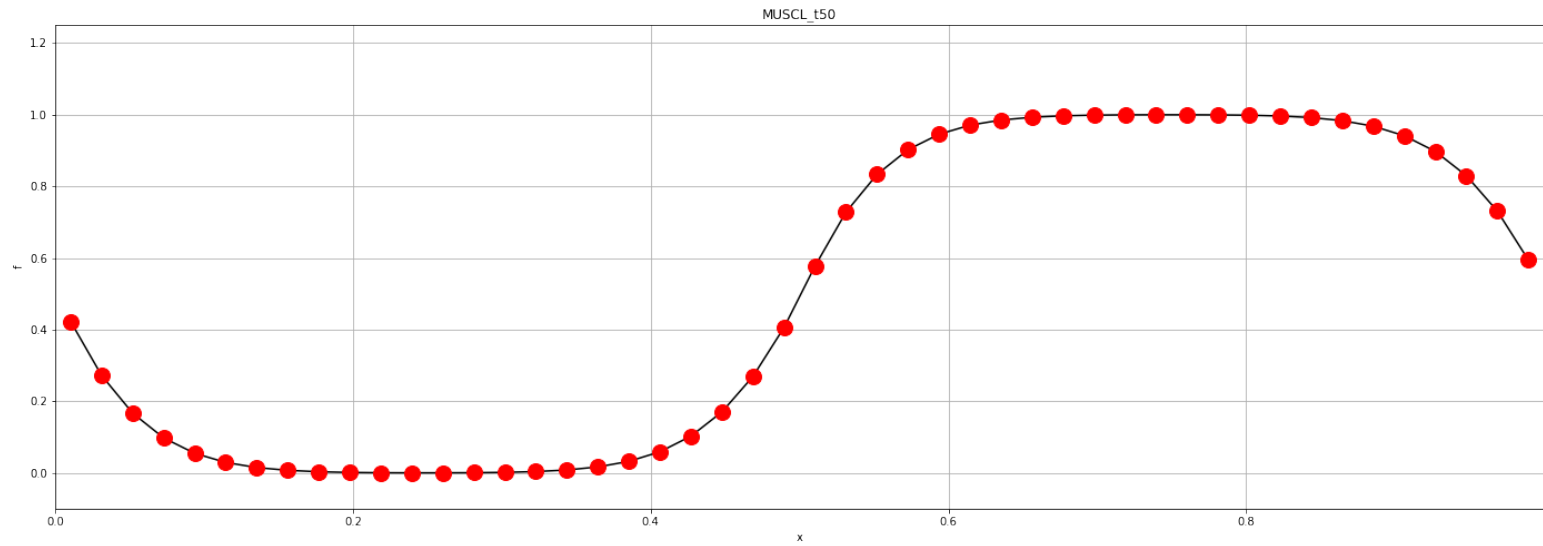
- 1D тесты с перемещением “полки” с постоянной скоростью. Заданы циклические граничные условия



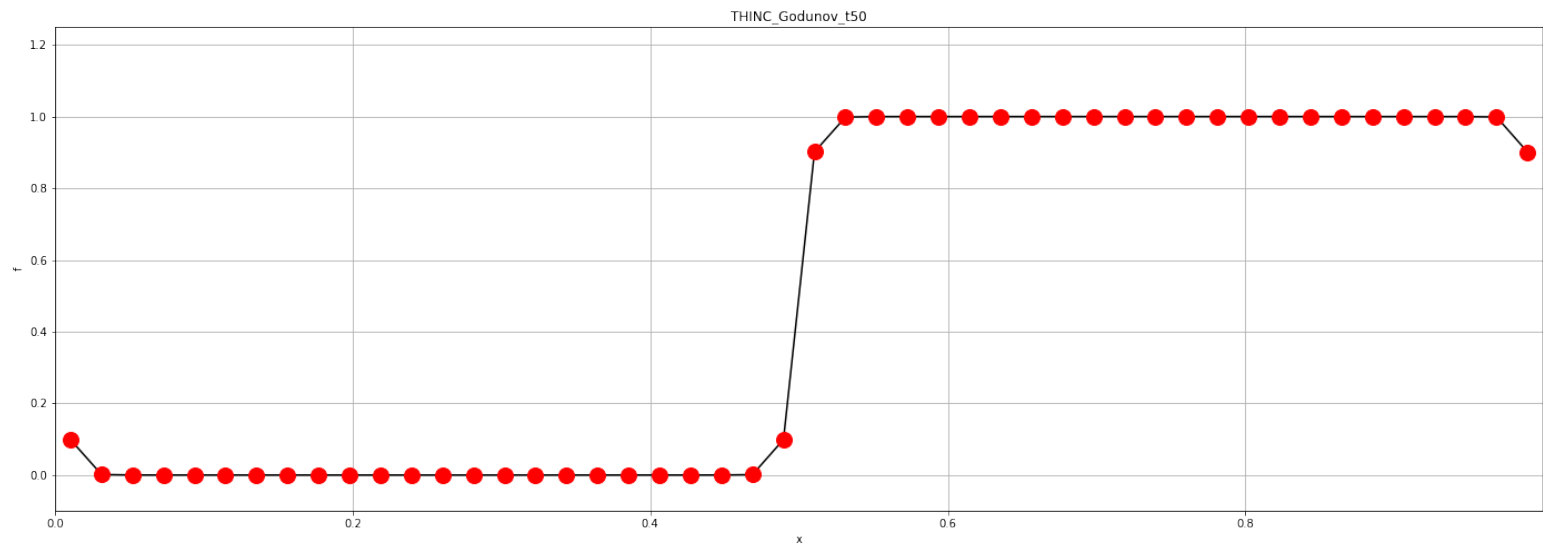
- 2D тесты с перемещением простых форм в поле постоянной скорости
- 2D тест с перемещением простых форм в поле скоростей твердого тела



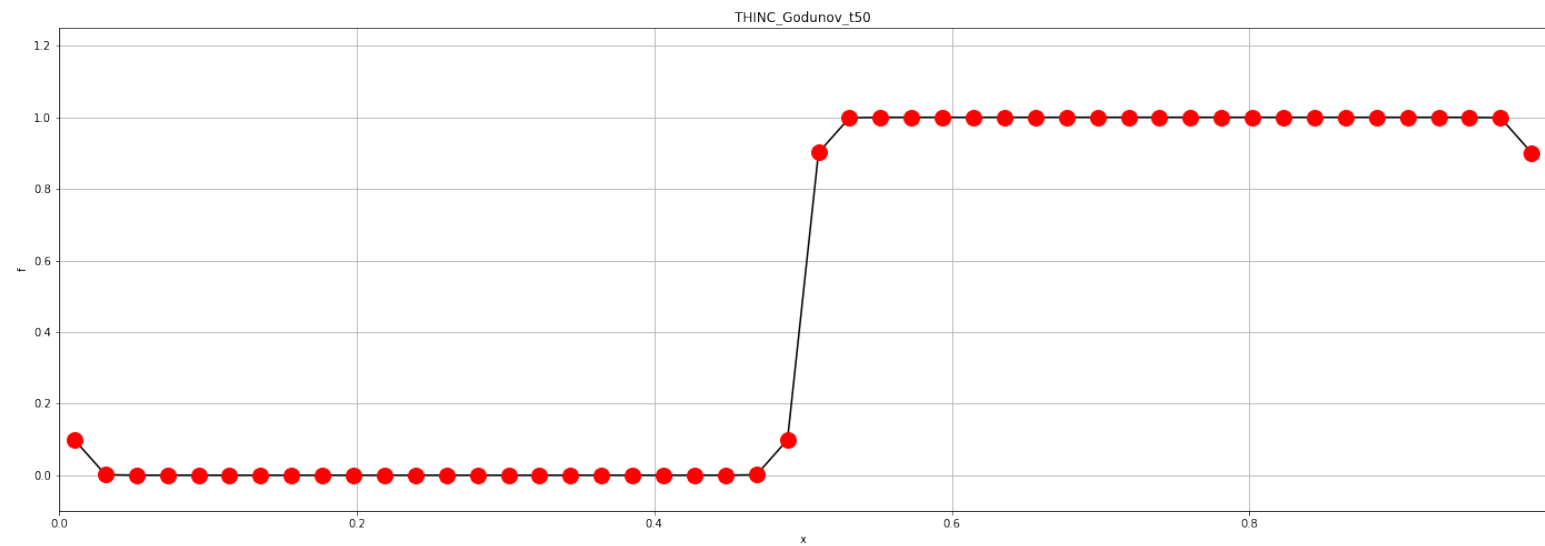
MUSCL



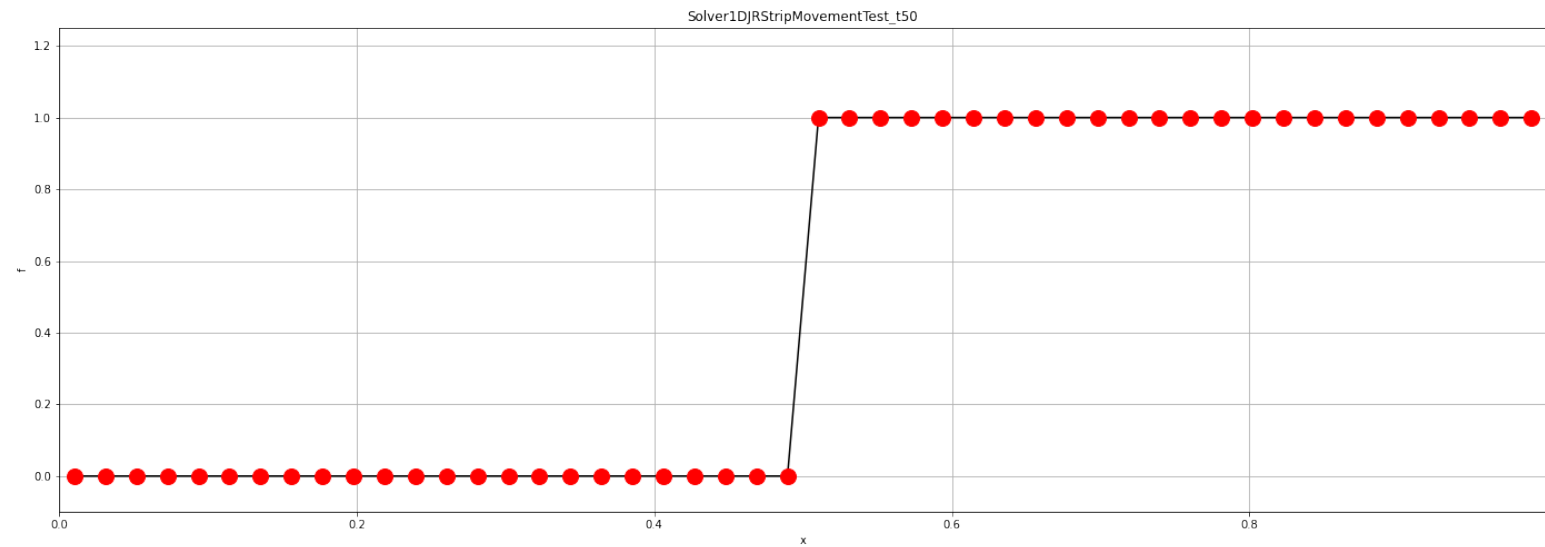
THINC



THINC

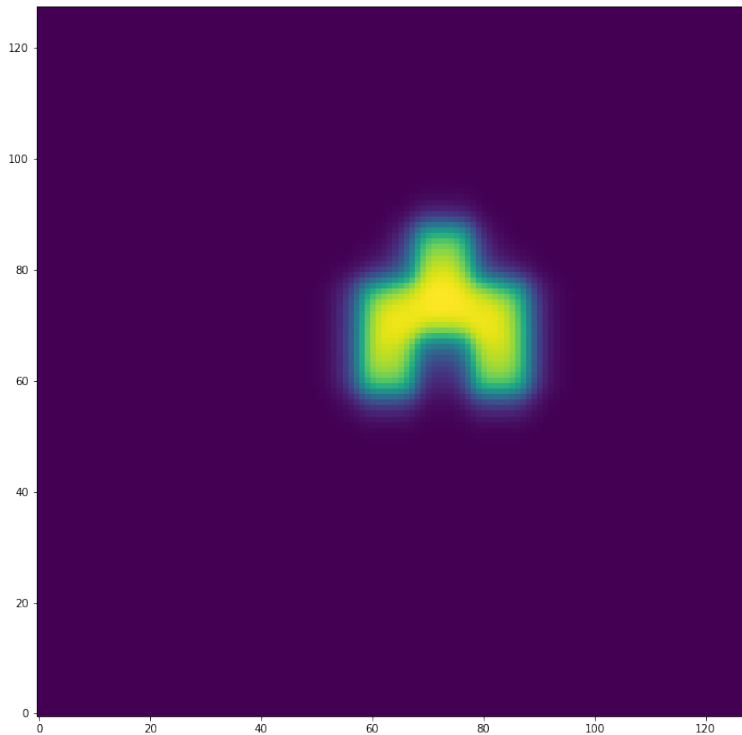


JR

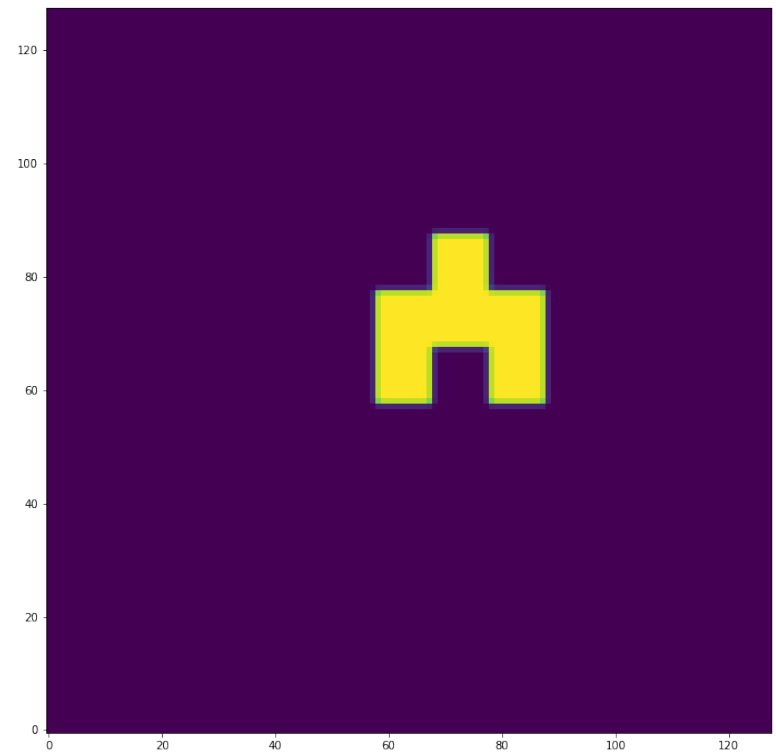


2D реализация

- Метод MUSCL



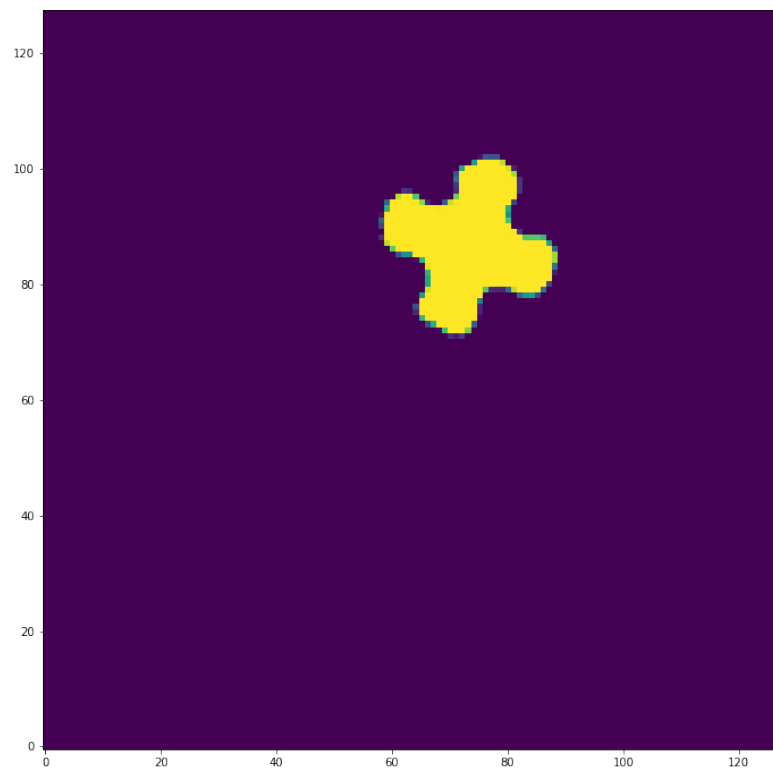
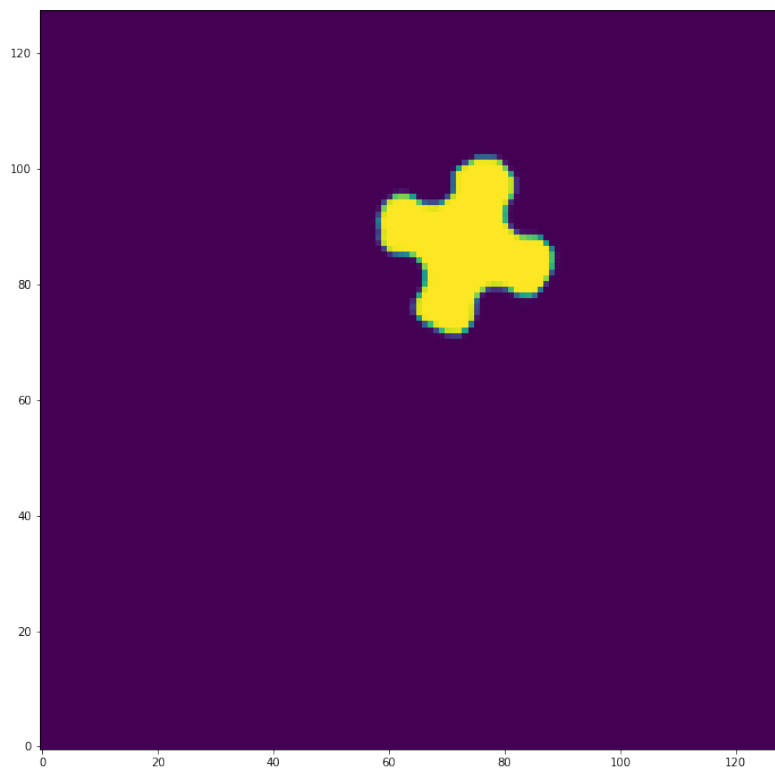
Метод THINC



2D реализация

- THINC

JR



2D реализация

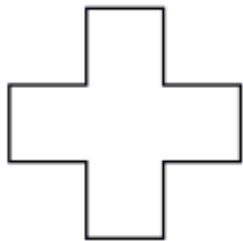


Рис. 66: Initial

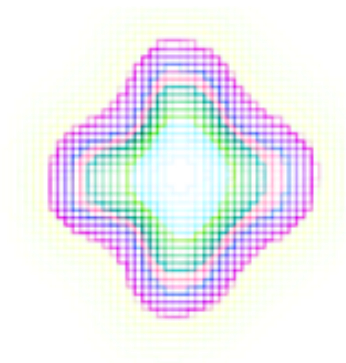


Рис. 67: MUSCL



Рис. 68: THINC



Рис. 69: JR

Заключение:

- Предложен метод цифрового представления пространственной нестационарной геометрии на основе численного решения уравнения переноса
- Построены и исследованы три численные схемы годуновского типа, использующие различные способы подсеточного восполнения решения: известные в литературе линейное (MUSCL), сигмоидное (THINC) и предложенное разрывное (JR)
- Проведено исследование схем на решениях 1D задач. Показано, что схема JR максимально точно воспроизводит положение границы (1 счетная ячейка).
- Проведено обобщение 1D метода на 2D уравнения на основе расщепления по направлениям. Составлен код и проведен сравнительный анализ цифрового представления 2D нестационарной геометрии схемами MUSCL, THINC и JR. Результаты показали преимущество предложенного JR метода перед остальными в точности разрешения границы тела.

Спасибо за внимание!

ОСНОВНЫЕ ИСТОЧНИКИ И ЛИТЕРАТУРА

1. A simple algebraic interface capturing scheme using hyperbolic tangent function. F. Xiao,
2. Y. Honma and T. Kono (2005)
3. Revisit to the THINC scheme: A simple algebraic VOF algorithm. Feng Xiao, Satoshi Ii, Chungang Chen (2011)
4. An Eulerian interface sharpening algorithm for compressible two-phase flow: The algebraic THINC approach. Keh-Ming Shyue, Feng Xiao (2014)
5. Lectures on Methods of Computational Fluid Dynamics by I. Menshov, MSU 2012-2013
6. Interface Sharpening in two-phase flows based on primitive sub-cell reconstructions, Igor Menshov¹, Chao Zhang² and Pavel Zakharov³